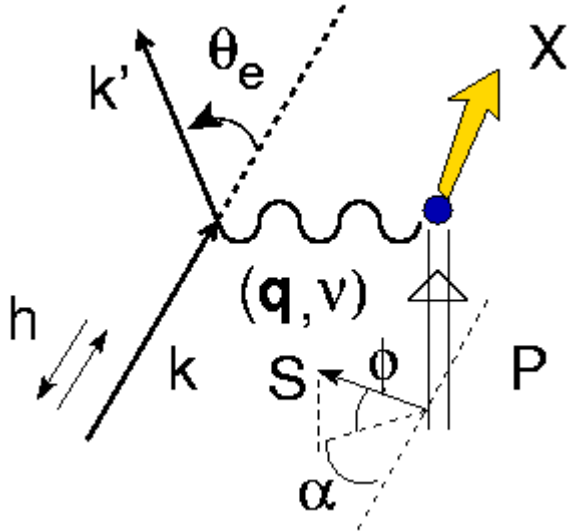


Riassunto della lezione precedente

- e^+e^- inclusivo : formalismo e interpretazione in QPM
scaling della sezione d'urto totale
rapporto $R \rightarrow$ test di $SU_c(3)$ e $SU_f(N_f)$
- e^+e^- semi-inclusivo : formalismo e interpretazione in QPM
distribuzione angolare dell'adrone rivelato da processo elementare
funz. frammentazione incognita da confronto con dati
scaling in z della sez. d'urto e violazioni
- Semi-inclusive DIS (SIDIS) : formalismo e interpretazione in QPM
ipotesi fattorizzazione \rightarrow universalita` delle funz. partoniche
confronto SIDIS – e^+e^- semi-inclusivo \rightarrow info sulle funz. frammentazione
- e^+e^- semi-inclusiva in due adroni; sezione d'urto di jet;
jet = fascio di adroni che portano frazione $0 \leq z \leq 1$ dell'energia
del partone che frammenta;
direzione dell'asse del jet identifica direzione del partone che frammenta;
direzione determinata dal processo elementare di QED

DIS inclusivo polarizzato



se $S=0 \rightarrow$ violazione della parita`
processo debole \rightarrow corrente $V-A \rightarrow W^{\mu\nu}_A$

se $S, h \neq 0 \rightarrow$ 2 4-vettori P, q e
1 4-pseudovettore S indipendenti
struttura del tensore adronico piu` ricca

si sceglie S^μ tale che $S^2 = -1$ e $S \cdot P = 0$

$$S^\mu = \frac{S \cdot q}{P \cdot q} \left(P^\mu - \frac{M^2}{P \cdot q} q^\mu \right) + S^\mu_\perp = \frac{\lambda}{M} \left(P^\mu - \frac{M^2}{P \cdot q} q^\mu \right) + S^\mu_\perp$$

elicita`

$$\lambda = M \frac{S \cdot q}{P \cdot q}$$

$$S \cdot P = 0 \rightarrow S_\perp \cdot P = 0$$

$$S^2 \sim -(\lambda^2 + S_\perp^2) = -1$$



Tensore adronico

$S = 1/2 \rightarrow W^{\mu\nu}$ è al più lineare in S , perché è matrice 2×2 in spazio di spin

\Rightarrow espansione sulla base delle matrici σ di Dirac

$$W^{\mu\nu} = \sum_{\alpha\alpha'} W_{\alpha\alpha'}^{\mu\nu} \rho_{\alpha\alpha'} = \frac{1}{2} \sum_{\alpha\alpha'} W_{\alpha\alpha'}^{\mu\nu} (1 + \mathbf{P} \cdot \boldsymbol{\sigma})_{\alpha\alpha'}$$

matrice densità di spin del target

vettore di polarizzazione

$$P_i = \frac{N_+ - N_-}{N_+ + N_-} = \langle \sigma_i \rangle = \text{Tr}(\rho \sigma_i)$$

- S^μ coplanar with scattering plane $\rightarrow \phi = 0$
- hermiticity del tensore
- invarianza per trasformazioni di parità
- invarianza per trasformazioni di time-reversal
- conservazione della corrente



Tensore adronico (continua)

$$W^{\mu\nu} = W^{\mu\nu}_S + W^{\mu\nu}_A$$

$$W^{\mu\nu}_S = \left(-g^{\mu\nu} + \frac{q^\mu q^\nu}{q^2} \right) W_1 + \frac{\tilde{P}^\mu \tilde{P}^\nu}{M^2} W_2$$

$$\tilde{P}^\mu = P^\mu - \frac{P \cdot q}{q^2} q^\mu$$

$$W^{\mu\nu}_A = i\epsilon^{\mu\nu\rho\sigma} q_\rho [A_1 S_\sigma + A_2 P_\sigma]$$

\uparrow scalare \nwarrow pseudoscalare

$$W^{\mu\nu}_A = i\epsilon^{\mu\nu\rho\sigma} q_\rho S_\sigma \left[\underline{M G_1(\nu, Q^2)} + \frac{P \cdot q}{M} \underline{G_2(\nu, Q^2)} \right]$$

$$- i\epsilon^{\mu\nu\rho\sigma} q_\rho P_\sigma \frac{S \cdot q}{M} G_2(\nu, Q^2)$$

$$= i\epsilon^{\mu\nu\rho\sigma} q_\rho P_\sigma \lambda G_1(\nu, Q^2)$$

$$+ i\epsilon^{\mu\nu\rho\sigma} q_\rho S_{\perp\sigma} \left[M G_1(\nu, Q^2) + \frac{P \cdot q}{M} G_2(\nu, Q^2) \right]$$



Ampiezza di scattering

leptone polarizzato con elicità $h=\pm$

tensore leptonico : $L_{\mu\nu} = L_{\mu\nu}^S \pm L_{\mu\nu}^A$

$$L_{\mu\nu}^S = 2k_\mu k'_\nu + 2k_\nu k'_\mu - 2k \cdot k' g_{\mu\nu}$$

$$L_{\mu\nu}^A = 2i\epsilon_{\mu\nu\rho\sigma} k^\rho k'^\sigma$$

$$L_{\mu\nu}^S W^{\mu\nu}_S \rightarrow \frac{d\sigma^0}{dE' d\Omega} = \frac{4\alpha^2}{Q^4} E'^2 \left(2 \sin^2 \frac{\theta_e}{2} W_1 + \cos^2 \frac{\theta_e}{2} W_2 \right)$$

$$L_{\mu\nu}^A W^{\mu\nu}_A \rightarrow L_{\mu\nu}^A i\epsilon^{\mu\nu\rho\sigma} q_\rho S_\sigma \stackrel{\text{TRF}}{=} 8EE' \sin^2 \frac{\theta_e}{2} S \cdot (k + k')$$

$$L_{\mu\nu}^A (-i)\epsilon^{\mu\nu\rho\sigma} q_\rho P_\sigma \stackrel{\text{TRF}}{=} -8EE' \sin^2 \frac{\theta_e}{2} P \cdot (k + k')$$



$$L_{\mu\nu}^A W_A^{\mu\nu} = 8EE' \sin^2 \frac{\theta_e}{2} \left[\left(M G_1 + \frac{P \cdot q}{M} G_2 \right) S \cdot (k + k') - \frac{G_2}{M} S \cdot q P \cdot (k + k') \right]$$

Sezione d'urto

$$\begin{cases} k = (E, 0, 0, E) \\ k' = (E', E' \sin \theta_e, 0, E' \cos \theta_e) \\ \hat{S} = (0, \sin \alpha \cos \phi, \sin \alpha \sin \phi, \cos \alpha) \end{cases} \quad \text{coplanar} \rightarrow \phi = 0$$

$$S \cdot (k + k') = -E' (\cos \theta_e \cos \alpha + \sin \theta_e \sin \alpha) - E \cos \alpha$$

$$P \cdot (k + k') = M (E + E')$$

$$S \cdot q = E' (\cos \theta_e \cos \alpha + \sin \theta_e \sin \alpha) - E \cos \alpha$$



$$\begin{aligned} \frac{d\Delta\sigma^h}{dE'd\Omega} = & -h \frac{2\alpha^2}{Q^2} \frac{E'}{E} \left\{ \underline{\cos \alpha} \left[(E + E' \cos \theta_e) M G_1 - Q^2 G_2 \right] \right. \\ & \left. + E' \sin \theta_e \underline{\sin \alpha} (M G_1 + 2E G_2) \right\} \end{aligned}$$



$$\alpha = 0 \leftrightarrow \mathbf{S} \parallel \mathbf{k}$$

$$\alpha = \pi/2 \leftrightarrow \mathbf{S} \perp \mathbf{k}$$

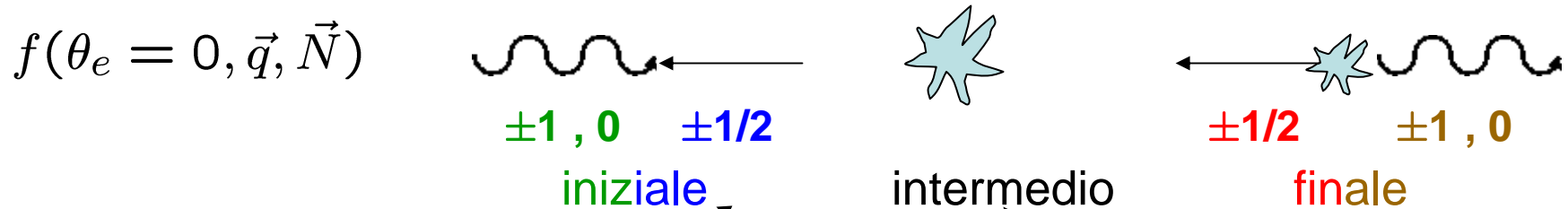
Sezione d'urto (continua)

$$\frac{d\sigma^o}{dE' d\Omega}, \frac{d\Delta\sigma^{h\pm}}{dE' d\Omega} \Rightarrow F_1, F_2, G_1, G_2$$

perchè 4 funzioni di struttura F_1, F_2, G_1, G_2 ?

sezione d'urto totale per assorbimento di γ^* : $\sigma_{\text{tot}} (\gamma^* N)$

teorema ottico : $\sigma_{\text{tot}} (\gamma^* N) \propto \text{Im} [f(\theta_e=0) \text{ Compton }]$



	1	+1	+1/2	+3/2	+1	+1/2
1		+1	+1/2	+3/2	+1	+1/2
2		+1	-1/2	+1/2	+1	-1/2
3		+1	-1/2	+1/2	0	+1/2
4		0	+1/2	+1/2	+1	-1/2
5		0	+1/2	+1/2	0	+1/2

legati da time-reversal
 \rightarrow 4 strutture indipendenti

Asimmetrie di elicità

riarrangiamento delle 4 combinazioni indipendenti



$$\begin{aligned}
 \left[\left(1, \frac{1}{2}\right) \rightarrow \left(1, \frac{1}{2}\right) \right] + \left[\left(1, -\frac{1}{2}\right) \rightarrow \left(1, -\frac{1}{2}\right) \right] &\equiv W_T = W_1 = \sigma_{3/2}^T + \sigma_{1/2}^T \\
 \left(0, \frac{1}{2}\right) \rightarrow \left(0, \frac{1}{2}\right) &\equiv W_L = \left(1 + \frac{\nu^2}{Q^2}\right) W_2 - W_1 = \sigma_{1/2}^L \\
 \left[\left(1, \frac{1}{2}\right) \rightarrow \left(1, \frac{1}{2}\right) \right] - \left[\left(1, -\frac{1}{2}\right) \rightarrow \left(1, -\frac{1}{2}\right) \right] &\equiv W_{TT} = -\nu M G_1 + Q^2 G_2 = \sigma_{3/2}^T - \sigma_{1/2}^T \\
 \left(1, -\frac{1}{2}\right) \rightarrow \left(0, \frac{1}{2}\right) &\equiv W_{LT} = \sqrt{2Q^2} (M G_1 + \nu G_2) = \sigma_{1/2}^{LT}
 \end{aligned}$$

elicità di γ^* $\rightarrow \sigma_{J_z}^{\lambda_{\gamma^*}}$
intermedio \nearrow

asimmetrie di elicità

$$\begin{aligned}
 A_1 &= \frac{\sigma_{1/2}^T - \sigma_{3/2}^T}{\sigma_{1/2}^T + \sigma_{3/2}^T} = -\frac{W_{TT}}{W_T} = \frac{\nu M G_1 - Q^2 G_2}{W_1} & 1 \geq |A_1| \\
 A_2 &= \frac{W_{LT}}{W_T} = \frac{\sqrt{2Q^2} (M G_1 + \nu G_2)}{W_1} & R = \frac{\sigma_L}{\sigma_T} \geq |A_2| = \frac{\sigma_{LT}}{\sigma_T}
 \end{aligned}$$

Accesso sperimentale alle asimmetrie

$$S \parallel k \rightarrow \alpha = 0$$

misura sperimentale accede a



$$A_{\parallel} = \frac{d\sigma^{\uparrow\uparrow} - d\sigma^{\uparrow\downarrow}}{d\sigma^{\uparrow\uparrow} + d\sigma^{\uparrow\downarrow}} = \frac{E - E'\epsilon}{E(1 + \epsilon R)} A_1 + \frac{\epsilon Q}{E(1 + \epsilon R)} A_2$$

$$A_{\perp} = \frac{d\sigma^{\uparrow\leftarrow} - d\sigma^{\uparrow\rightarrow}}{d\sigma^{\uparrow\leftarrow} + d\sigma^{\uparrow\rightarrow}} = \frac{E - E'\epsilon}{E(1 + \epsilon R)} \sqrt{2\epsilon(1 + \epsilon)} A_2 - \frac{\epsilon Q}{E(1 + \epsilon R)} \sqrt{\frac{(1 + \epsilon)^3}{2\epsilon}} A_1$$

$$S \perp k \rightarrow \alpha = \pi/2$$

polarizz. lineare di γ^* $\epsilon = \left[1 + 2 \frac{q^2}{Q^2} \tan^2 \frac{\theta_e}{2} \right]^{-1}$

$$R = \frac{W_L}{W_T} = \left(1 + \frac{\nu^2}{Q^2} \right) \frac{W_2}{W_1} - 1$$

inversione



$$A_1 = \frac{2(E - E'\epsilon) E (1 + \epsilon R)}{2(E - E'\epsilon)^2 + \epsilon(1 + \epsilon) Q^2} A_{\parallel} - \sqrt{\frac{2\epsilon}{1 + \epsilon}} \frac{QE(1 + \epsilon R)}{2(E - E'\epsilon)^2 + \epsilon(1 + \epsilon) Q^2} A_{\perp}$$

$$A_2 = \frac{E (1 + \epsilon R) Q (1 + \epsilon)}{2(E - E'\epsilon)^2 + \epsilon(1 + \epsilon) Q^2} A_{\parallel} + \sqrt{\frac{2}{\epsilon(1 + \epsilon)}} \frac{(E - E'\epsilon) E (1 + \epsilon R)}{2(E - E'\epsilon)^2 + \epsilon(1 + \epsilon) Q^2} A_{\perp}$$

misura di Q^2 , ϵ , R , A_{\parallel} , $A_{\perp} \Rightarrow A_1$, A_2

Limite DIS

$\nu, Q^2 \rightarrow \infty$ con x_B fisso

scaling :

$$\begin{aligned} MW_1(\nu, Q^2) &\rightarrow F_1(x_B) & M^2\nu G_1(\nu, Q^2) &\rightarrow \tilde{G}_1(x_B) \\ \nu W_2(\nu, Q^2) &\rightarrow F_2(x_B) & M\nu^2 G_2(\nu, Q^2) &\rightarrow \tilde{G}_2(x_B) \end{aligned}$$

(vedi espressioni di A_1 e A_2)

scaling delle asimmetrie di elicità :



$$\begin{aligned} A_1 &= \frac{\nu M G_1(\nu, Q^2) - Q^2 G_2(\nu, Q^2)}{W_1(\nu, Q^2)} \rightarrow \frac{\tilde{G}_1(x_B)}{F_1(x_B)} - \frac{2Mx_B}{\nu} \frac{\tilde{G}_2(x_B)}{F_1(x_B)} \rightarrow \frac{\tilde{G}_1(x_B)}{F_1(x_B)} \\ A_2 &= Q \frac{M G_1(\nu, Q^2) + \nu G_2(\nu, Q^2)}{W_1(\nu, Q^2)} \rightarrow \sqrt{\frac{2Mx_B}{\nu}} \frac{\tilde{G}_1(x_B) + \tilde{G}_2(x_B)}{F_1(x_B)} \rightarrow 0 \end{aligned}$$